
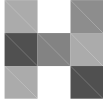
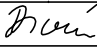



±0,000 = 265,35 m n.m.

Revize	Vypracoval	Popis revize	Datum

 PROJEKTOVÁNÍ ZDRAVOTNICKÉ VÝSTAVBY		Hlavní inženýr projektu: ING. PETR TOMICKÝ  Vedoucí projektant zakázky: ING. PETRA VÁCLAVKOVÁ	Investor:  <b>Nemocnice Vyškov</b>	
Profese:  <b>EL</b>	Zpracovatel dílu: BLOCK a.s., U Kasáren 727, 757 01 Valašské Meziříčí Tel: +420 571 670 111 E-mail: Dufka@blockcrs.cz www: www.ltprojekt.cz		Autorizace:	
Odpovědný projektant:	Vypracoval:	Kontroloval:		
ING. RADOMÍR DUFKA	ING. RADEK DIVÍN	ING. RADOMÍR DUFKA		
				
Akce:	<b>NEMOCNICE VYŠKOV, p.o. MAGNETICKÁ REZONANCE A STAVEBNÍ ÚPRAVY KŘÍDLA D3</b>		Zakázkové číslo: DPS 08 - 2021	Paré:
			Datum: 08 - 2021	
			Stupeň: PROVÁDĚNÍ STAVBY	
Objekt: PŘÍSTAVBA KŘÍDLA D3	SO 01	Formát: 14x A4		
Obsah:	<b>Výpočet parametrů sítě - RH.D3-MDO</b>		Měřítko: -	Číslo výkresu: <b>D.1.01.4c-005</b>

	<b>Výpočet parametrů sítě RH.D3-MDO, Un = 230/400 V )</b>	
	Projekt : Nemocnice Vyškov, p.o. Magnetická rezonance a stavební úpravy křídla D3	
	Autor : Ing. Radek Divín	
Označení	Parametry	Výpočty
	1T1	
1T1	SGB DOTEL 630H 22/0.40	Ur = 242/420 V
	Sr = 630 kVA	Ik"= 23.2 kA
	Parametry VN sítě : Sk = 500 MVA; X/R = 10	ip = 48.0 kA
	In = 909 A	dU = 1.3 %
	uk = 4 %	
	1Q2	
1Q2	BL1600SE3... + SE-BL-1000-DTV3	ip = 48.0 kA
	Icu = 65 kA	Zs(0,4s) = 169 mOhm, Ia = 1.37 kA, R(50V/5s) = 37 mOhm
	In = 1000 A	
	IR = 910 A	
	Ii = 1.25 kA	
	1S5	
1S5	Arion WL1110-2AA...	
	In = 1000 A	
	1F6	
1F6	4IIPNA1 200A gG (x4 = 800 A)	io = 39.7 kA
	In = 200 A (x4=800 A)	Zs(0,4s) = 27 mOhm, Ia = 8.48 kA, R(50V/5s) = 11 mOhm
	Icc = 120 kA	
	Připojeno pomocí FH1	
	1L7	
1L7	4II1-AYKY 4x240	Iz = 931 A
	250 m v zemi (D)	tm = 83 ° C
		Ik"= 13.1 kA
		dU = 2.1 %
		I2t < k2S2
		ip = 21.0 kA
		O.K. Zsv < Zs(0,4s) ( 29.1 mOhm < 169 mOhm )
		k = 0.648
	FAH1	
FAH1	BL1000SE3... + SE-BL-J800-DTV3	ip = 21.0 kA
	Icu = 65 kA	Zs(0,4s) = 210 mOhm, Ia = 1.10 kA, R(50V/5s) = 45 mOhm
	In = 800 A	
	IR = 800 A	
	Ii = 1000 A	

	RH-MDO	
RH-MDO	Sběrnice	$I_k'' = 13.1 \text{ kA}$
	$B = 0.6$	O.K. $Z_{sv} < Z_s(0,4s)$ ( $29.1 \text{ m}\Omega < 210 \text{ m}\Omega$ )
		$U = 407 \text{ V}$ ( $U_n + 1.9\%$ )
		$i_p = 21.0 \text{ kA}$
	FA1	
FA1	BD250NE305 + SE-BD-0250-DTV3	$i_o = 14.9 \text{ kA}$
	$I_{cu} = 36 \text{ kA}$	$Z_s(0,4s) = 261 \text{ m}\Omega$ , $I_a = 885 \text{ A}$ , $R(50V/5s) = 56 \text{ m}\Omega$
	$I_n = 250 \text{ A}$	
	$I_R = 200 \text{ A}$	
	$I_i = 4 \times I_R$	
	restart = T(t)	
	WL1	
WL1	2II1-CXKE-R 5x50	$I_z = 296 \text{ A}$
	25 m ve vzduchu (E)	$t_m = 95^\circ \text{ C}$
	Teplota okolí [st. C] : 30	( $I_k'' = 10.8 \text{ kA}$ )
	Způsob uložení : Na vodorovných perforovaných lávkách	$dU = 0.3 \%$
	Počet seskupených obvodů na lávce, žebříku či roštu : 5	$I_{2t} < k_2 S_2$
	Uspořádání seskupených obvodů : V jedné vrstvě těsně	$i_o = 13.2 \text{ kA}$
	Počet lávek, žebříků či roštů : 1	O.K. $Z_{sv} < Z_s(0,4s)$ ( $39.0 \text{ m}\Omega < 261 \text{ m}\Omega$ )
	2ZZ1	
2ZZ1	Vývod	$i_o = 13.2 \text{ kA}$
	$S = 90 \text{ kVA} \times B = 90 \text{ kVA}$	( $I_k'' = 10.8 \text{ kA}$ , $i_p = 16.4 \text{ kA}$ )
	$\cos \phi_i = 0.95$	O.K. $Z_{sv} < Z_s(0,4s)$ ( $39.0 \text{ m}\Omega < 261 \text{ m}\Omega$ )
	$I = 130 \text{ A}$	$U = 406 \text{ V}$ ( $U_n + 1.6\%$ )
	$B = 1$	
	FA2	
FA2	BD250NE305 + SE-BD-0250-DTV3	$i_o = 14.9 \text{ kA}$
	$I_{cu} = 36 \text{ kA}$	$Z_s(0,4s) = 261 \text{ m}\Omega$ , $I_a = 885 \text{ A}$ , $R(50V/5s) = 56 \text{ m}\Omega$
	$I_n = 250 \text{ A}$	
	$I_R = 200 \text{ A}$	
	$I_i = 4 \times I_R$	
	restart = T(t)	
	WL2	
WL2	2II1-CXKE-R 5x50	$I_z = 296 \text{ A}$
	75 m ve vzduchu (E)	$t_m = 95^\circ \text{ C}$
	Teplota okolí [st. C] : 30	( $I_k'' = 7.73 \text{ kA}$ )
	Způsob uložení : Na vodorovných perforovaných lávkách	$dU = 1.0 \%$
	Počet seskupených obvodů na lávce, žebříku či roštu : 5	$I_{2t} < k_2 S_2$
	Uspořádání seskupených obvodů : V jedné vrstvě těsně	$i_o = 10.9 \text{ kA}$
	Počet lávek, žebříků či roštů : 1	O.K. $Z_{sv} < Z_s(0,4s)$ ( $60.3 \text{ m}\Omega < 261 \text{ m}\Omega$ )

	2ZZ3	
2ZZ3	Vývod	$i_o = 10.9 \text{ kA}$
	$S = 100 \text{ kVA} \times B = 100 \text{ kVA}$	$(I_k'' = 7.73 \text{ kA}, i_p = 11.3 \text{ kA})$
	$\cos \phi_i = 0.95$	O.K. $Z_{sv} < Z_s(0,4s) \text{ ( } 60.3 \text{ m}\Omega < 261 \text{ m}\Omega \text{ )}$
	$I = 144 \text{ A}$	$U = 404 \text{ V (} U_n + 1.0\% \text{)}$
	$B = 1$	
	FA3	
FA3	BD250NE305 + SE-BD-0250-DTV3	$i_o = 14.9 \text{ kA}$
	$I_{cu} = 36 \text{ kA}$	$Z_s(0,4s) = 261 \text{ m}\Omega, I_a = 885 \text{ A}, R(50V/5s) = 56 \text{ m}\Omega$
	$I_n = 250 \text{ A}$	
	$I_R = 200 \text{ A}$	
	$I_i = 4 \times I_R$	
	restart = T(t)	
	WL3	
WL3	2II1-CXKE-R 5x50	$I_z = 296 \text{ A}$
	45 m ve vzduchu (E)	$t_m = 95^\circ \text{ C}$
	Teplota okolí [st. C] : 30	$(I_k'' = 9.34 \text{ kA})$
	Způsob uložení : Na vodorovných perforovaných lávkách	$dU = 0.7 \%$
	Počet seskupených obvodů na lávce, žebříku či roštu : 5	$I_{2t} < k_2 S_2$
	Uspořádání seskupených obvodů : V jedné vrstvě těsně	$i_o = 12.2 \text{ kA}$
	Počet lávek, žebříků či roštů : 1	O.K. $Z_{sv} < Z_s(0,4s) \text{ ( } 47.4 \text{ m}\Omega < 261 \text{ m}\Omega \text{ )}$
	2ZZ4	
2ZZ4	Vývod	$i_o = 12.2 \text{ kA}$
	$S = 110 \text{ kVA} \times B = 110 \text{ kVA}$	$(I_k'' = 9.34 \text{ kA}, i_p = 13.9 \text{ kA})$
	$\cos \phi_i = 0.95$	O.K. $Z_{sv} < Z_s(0,4s) \text{ ( } 47.4 \text{ m}\Omega < 261 \text{ m}\Omega \text{ )}$
	$I = 159 \text{ A}$	$U = 405 \text{ V (} U_n + 1.3\% \text{)}$
	$B = 1$	
	FA6	
FA6	BC160NT305-80-D	$i_o = 12.9 \text{ kA}$
	$I_{cu} = 25 \text{ kA}$	$Z_s(0,4s) = 261 \text{ m}\Omega, I_a = 885 \text{ A}, R(50V/5s) = 56 \text{ m}\Omega$
	$I_n = 80 \text{ A}$	
	$I_R = 80 \text{ A ( } 1.00 \times 80 \text{ A )}$	
	$I_i = 800 \text{ A}$	
	WL6	
WL6	1-CXKE-R 5x50	$I_z = 115 \text{ A}$
	30 m ve vzduchu (E)	$t_m = 118^\circ \text{ C}$
	Teplota okolí [st. C] : 30	$(I_k'' = 8.47 \text{ kA})$
	Způsob uložení : Na vodorovných perforovaných lávkách	$dU = 0.3 \%$
	Počet seskupených obvodů : 5	$I_{2t} < k_2 S_2$
	Uspořádání seskupených obvodů : Seskupené ve svazku, zapuštěné nebo uzavřené	$i_o = 10.1 \text{ kA}$
		O.K. $Z_{sv} < Z_s(0,4s) \text{ ( } 55.0 \text{ m}\Omega < 261 \text{ m}\Omega \text{ )}$

	2ZZ2	
2ZZ2	Vývod	$i_o = 10.1 \text{ kA}$
	$S = 40 \text{ kVA} \times B = 40 \text{ kVA}$	$(I_k'' = 8.47 \text{ kA}, i_p = 12.5 \text{ kA})$
	$\cos \phi_i = 0.95$	O.K. $Z_{sv} < Z_s(0,4s) \text{ ( } 55.0 \text{ m}\Omega < 261 \text{ m}\Omega \text{ )}$
	$I = 57.7 \text{ A}$	$U = 406 \text{ V (} U_n + 1.6\% \text{)}$
	$B = 1$	
	FA7	
FA7	BC160NT305-125-D	$i_o = 12.9 \text{ kA}$
	$I_{cu} = 25 \text{ kA}$	$Z_s(0,4s) = 169 \text{ m}\Omega, I_a = 1.37 \text{ kA}, R(50V/5s) = 37 \text{ m}\Omega$
	$I_n = 125 \text{ A}$	
	$I_R = 125 \text{ A ( } 1.00 \times 125 \text{ A )}$	
	$I_i = 1250 \text{ A}$	
	WL7	
WL7	1-CXKE-R 5x95	$I_z = 179 \text{ A}$
	40 m ve vzduchu (E)	$t_m = 88^\circ \text{ C}$
	Teplota okolí [st. C] : 30	$(I_k'' = 9.23 \text{ kA})$
	Způsob uložení : Na vodorovných perforovaných lávkách	$dU = 0.3 \%$
	Počet seskupených obvodů : 5	$I_{2t} < k2S2$
	Uspořádání seskupených obvodů : Seskupené ve svazku, zapuštěné nebo uzavřené	$i_o = 10.6 \text{ kA}$
		O.K. $Z_{sv} < Z_s(0,4s) \text{ ( } 47.6 \text{ m}\Omega < 210 \text{ m}\Omega \text{ )}$
	2RMS1	
2RMS1	Vývod	$i_o = 10.6 \text{ kA}$
	$P = 51 \text{ kW} \times B = 46 \text{ kW}$	$(I_k'' = 9.23 \text{ kA}, i_p = 14.0 \text{ kA})$
	$\cos \phi_i = 0.95$	O.K. $Z_{sv} < Z_s(0,4s) \text{ ( } 47.6 \text{ m}\Omega < 210 \text{ m}\Omega \text{ )}$
	$I = 69.7 \text{ A}$	$U = 406 \text{ V (} U_n + 1.6\% \text{)}$
	$B = 0.9$	
	FA8	
FA8	BC160NT305-80-D	$i_o = 12.9 \text{ kA}$
	$I_{cu} = 25 \text{ kA}$	$Z_s(0,4s) = 261 \text{ m}\Omega, I_a = 885 \text{ A}, R(50V/5s) = 56 \text{ m}\Omega$
	$I_n = 80 \text{ A}$	
	$I_R = 80 \text{ A ( } 1.00 \times 80 \text{ A )}$	
	$I_i = 800 \text{ A}$	
	WL8	
WL8	1-CXKE-R 5x50	$I_z = 115 \text{ A}$
	20 m ve vzduchu (E)	$t_m = 118^\circ \text{ C}$
	Teplota okolí [st. C] : 30	$(I_k'' = 9.67 \text{ kA})$
	Způsob uložení : Na vodorovných perforovaných lávkách	$dU = 0.0 \%$
	Počet seskupených obvodů : 5	$I_{2t} < k2S2$
	Uspořádání seskupených obvodů : Seskupené ve svazku, zapuštěné nebo uzavřené	$i_o = 10.9 \text{ kA}$
		O.K. $Z_{sv} < Z_s(0,4s) \text{ ( } 46.3 \text{ m}\Omega < 261 \text{ m}\Omega \text{ )}$
	1RS1	

1RS1	Vývod	io = 10.9 kA
	P= 11 kW xB = 8.8 kW	(Ik"= 9.67 kA, ip = 14.5 kA)
	cos fi = 0.95	O.K. Zsv < Zs(0,4s) ( 46.3 mOhm < 261 mOhm )
	I = 13.4 A	U = 407 V (Un + 1.8%)
	B = 0.8	
	FA9	
FA9	BC160NT305-80-D	io = 12.9 kA
	Icu = 25 kA	Zs(0,4s) = 261 mOhm, Ia = 885 A, R(50V/5s) = 56 mOhm
	In = 80 A	
	IR = 80 A ( 1.00x80 A )	
	Ii = 800 A	
	WL9	
WL9	1-CXKE-R 5x50	Iz = 115 A
	45 m ve vzduchu (E)	tm = 118 ° C
	Teplota okolí [st. C] : 30	(Ik"= 7.11 kA)
	Způsob uložení : Na vodorovných perforovaných lávkách	dU = 0.2 %
	Počet seskupených obvodů : 5	I2t < k2S2
	Uspořádání seskupených obvodů : Seskupené ve svazku, zapuštěné nebo uzavřené	io = 9.14 kA
		O.K. Zsv < Zs(0,4s) ( 68.4 mOhm < 261 mOhm )
	1RS2	
1RS2	Vývod	io = 9.14 kA
	P= 17 kW xB = 14 kW	(Ik"= 7.11 kA, ip = 10.4 kA)
	cos fi = 0.95	O.K. Zsv < Zs(0,4s) ( 68.4 mOhm < 261 mOhm )
	I = 20.7 A	U = 407 V (Un + 1.7%)
	B = 0.8	
	FA10	
FA10	BC160NT305-40-D	io = 10.6 kA
	Icu = 25 kA	Zs(0,4s) = 523 mOhm, Ia = 442 A, R(50V/5s) = 113 mOhm
	In = 40 A	
	IR = 40 A ( 1.00x40 A )	
	Ii = 400 A	
	WL10	
WL10	1-CXKE-R 5x25	Iz = 76 A
	30 m ve vzduchu (E)	tm = 109 ° C
	Teplota okolí [st. C] : 30	(Ik"= 6.52 kA)
	Způsob uložení : Na vodorovných perforovaných lávkách	dU = 0.1 %
	Počet seskupených obvodů : 5	I2t < k2S2
	Uspořádání seskupených obvodů : Seskupené ve svazku, zapuštěné nebo uzavřené	io = 7.53 kA
		O.K. Zsv < Zs(0,4s) ( 76.5 mOhm < 523 mOhm )
	2RS1	
2RS1	Vývod	io = 7.53 kA

	P= 6.0 kW xB = 4.8 kW	(Ik"= 6.52 kA, ip = 9.45 kA)
	cos fi = 0.95	O.K. Zsv < Zs(0,4s) ( 76.5 mOhm < 523 mOhm )
	I = 7.29 A	U = 407 V (Un + 1.8%)
	B = 0.8	
	FA11	
FA11	BC160NT305-63-D	io = 12.9 kA
	Icu = 25 kA	Zs(0,4s) = 331 mOhm, Ia = 697 A, R(50V/5s) = 72 mOhm
	In = 63 A	
	IR = 63 A ( 1.00x63 A )	
	Ii = 630 A	
	WL11	
WL11	1-CXKE-R 5x50	Iz = 115 A
	70 m ve vzduchu (E)	tm = 78 ° C
	Teplota okolí [st. C] : 30	(Ik"= 5.57 kA)
	Způsob uložení : Na vodorovných perforovaných lávkách	dU = 0.3 %
	Počet seskupených obvodů : 5	I2t < k2S2
	Uspořádání seskupených obvodů : Seskupené ve svazku, zapuštěné nebo uzavřené	io = 7.97 kA
		O.K. Zsv < Zs(0,4s) ( 88.5 mOhm < 331 mOhm )
	2RS2	
2RS2	Vývod	io = 7.97 kA
	P= 22 kW xB = 18 kW	(Ik"= 5.57 kA, ip = 8.07 kA)
	cos fi = 0.95	O.K. Zsv < Zs(0,4s) ( 88.5 mOhm < 331 mOhm )
	I = 26.7 A	U = 406 V (Un + 1.6%)
	B = 0.8	
	FA12	
FA12	BC160NT305-40-D	io = 10.6 kA
	Icu = 25 kA	Zs(0,4s) = 523 mOhm, Ia = 442 A, R(50V/5s) = 113 mOhm
	In = 40 A	
	IR = 40 A ( 1.00x40 A )	
	Ii = 400 A	
	WL12	
WL12	1-CXKE-R 5x25	Iz = 76 A
	30 m ve vzduchu (E)	tm = 109 ° C
	Teplota okolí [st. C] : 30	(Ik"= 6.52 kA)
	Způsob uložení : Na vodorovných perforovaných lávkách	dU = 0.2 %
	Počet seskupených obvodů : 5	I2t < k2S2
	Uspořádání seskupených obvodů : Seskupené ve svazku, zapuštěné nebo uzavřené	io = 7.53 kA
		O.K. Zsv < Zs(0,4s) ( 76.5 mOhm < 523 mOhm )
	2ZR1	
2ZR1	Vývod	io = 7.53 kA
	P= 10 kW xB = 10 kW	(Ik"= 6.52 kA, ip = 9.45 kA)

	cos $\phi$ = 0.95	O.K. $Z_{sv} < Z_s(0,4s)$ ( 76.5 mOhm < 523 mOhm )
	I = 15.2 A	U = 407 V (Un + 1.7%)
	B = 1	
	FA13	
FA13	BC160NT305-40-D	$i_o = 10.6$ kA
	$I_{cu} = 25$ kA	$Z_s(0,4s) = 523$ mOhm, $I_a = 442$ A, $R(50V/5s) = 113$ mOhm
	$I_n = 40$ A	
	$I_R = 40$ A ( 1.00x40 A )	
	$I_i = 400$ A	
	WL13	
WL13	1-CXKE-R 5x25	$I_z = 76$ A
	40 m ve vzduchu (E)	$t_m = 109$ ° C
	Teplota okolí [st. C] : 30	( $I_k'' = 5.50$ kA)
	Způsob uložení : Na vodorovných perforovaných lávkách	$dU = 0.1$ %
	Počet seskupených obvodů : 5	$I_{2t} < k2S2$
	Uspořádání seskupených obvodů : Seskupené ve svazku, zapuštěné nebo uzavřené	$i_o = 6.92$ kA
		O.K. $Z_{sv} < Z_s(0,4s)$ ( 92.5 mOhm < 523 mOhm )
	2ZR2	
2ZR2	Vývod	$i_o = 6.92$ kA
	P= 7.0 kW xB = 7.0 kW	( $I_k'' = 5.50$ kA, $i_p = 7.95$ kA)
	cos $\phi$ = 0.95	O.K. $Z_{sv} < Z_s(0,4s)$ ( 92.5 mOhm < 523 mOhm )
	I = 10.6 A	U = 407 V (Un + 1.7%)
	B = 1	
	FA14	
FA14	BC160NT305-40-D	$i_o = 10.6$ kA
	$I_{cu} = 25$ kA	$Z_s(0,4s) = 523$ mOhm, $I_a = 442$ A, $R(50V/5s) = 113$ mOhm
	$I_n = 40$ A	
	$I_R = 40$ A ( 1.00x40 A )	
	$I_i = 400$ A	
	WL14	
WL14	1-CXKE-R 5x25	$I_z = 76$ A
	70 m ve vzduchu (E)	$t_m = 109$ ° C
	Teplota okolí [st. C] : 30	$I_k'' = 3.71$ kA
	Způsob uložení : Na vodorovných perforovaných lávkách	$dU = 0.1$ %
	Počet seskupených obvodů : 5	$I_{2t} < k2S2$
	Uspořádání seskupených obvodů : Seskupené ve svazku, zapuštěné nebo uzavřené	$i_p = 5.35$ kA
		O.K. $Z_{sv} < Z_s(0,4s)$ ( 141 mOhm < 523 mOhm )
	2ZR3	
2ZR3	Vývod	$I_k'' = 3.71$ kA
	P= 3.3 kW xB = 3.3 kW	O.K. $Z_{sv} < Z_s(0,4s)$ ( 141 mOhm < 523 mOhm )
	cos $\phi$ = 0.95	$i_p = 5.35$ kA



	I = 5.01 A	U = 407 V (Un + 1.8%)
	B = 1	
	FA15	
FA15	BC160NT305-40-D	io = 10.6 kA
	Icu = 25 kA	Zs(0,4s) = 523 mOhm, Ia = 442 A, R(50V/5s) = 113 mOhm
	In = 40 A	
	IR = 40 A ( 1.00x40 A )	
	Ii = 400 A	
	WL15	
WL15	1-CXKE-R 5x25	Iz = 76 A
	25 m ve vzduchu (E)	tm = 109 ° C
	Teplota okolí [st. C] : 30	(Ik"= 7.18 kA)
	Způsob uložení : Na vodorovných perforovaných lávkách	dU = 0.1 %
	Počet seskupených obvodů : 5	I2t < k2S2
	Uspořádání seskupených obvodů : Seskupené ve svazku, zapuštěné nebo uzavřené	io = 7.90 kA
		O.K. Zsv < Zs(0,4s) ( 68.6 mOhm < 523 mOhm )
	2ZR4	
2ZR4	Vývod	io = 7.90 kA
	P= 5.4 kW xB = 5.4 kW	(Ik"= 7.18 kA, ip = 10.4 kA)
	cos fi = 0.95	O.K. Zsv < Zs(0,4s) ( 68.6 mOhm < 523 mOhm )
	I = 8.20 A	U = 407 V (Un + 1.8%)
	B = 1	
	FA16	
FA16	BC160NT305-40-D	io = 10.6 kA
	Icu = 25 kA	Zs(0,4s) = 523 mOhm, Ia = 442 A, R(50V/5s) = 113 mOhm
	In = 40 A	
	IR = 40 A ( 1.00x40 A )	
	Ii = 400 A	
	WL16	
WL16	1-CXKE-R 5x25	Iz = 76 A
	30 m ve vzduchu (E)	tm = 109 ° C
	Teplota okolí [st. C] : 30	(Ik"= 6.52 kA)
	Způsob uložení : Na vodorovných perforovaných lávkách	dU = 0.2 %
	Počet seskupených obvodů : 5	I2t < k2S2
	Uspořádání seskupených obvodů : Seskupené ve svazku, zapuštěné nebo uzavřené	io = 7.53 kA
		O.K. Zsv < Zs(0,4s) ( 76.5 mOhm < 523 mOhm )
	RB	
RB	Vývod	io = 7.53 kA
	P= 10 kW xB = 10 kW	(Ik"= 6.52 kA, ip = 9.45 kA)
	cos fi = 0.95	O.K. Zsv < Zs(0,4s) ( 76.5 mOhm < 523 mOhm )
	I = 15.2 A	U = 407 V (Un + 1.7%)

	B = 1	
	FA17	
FA17	BC160NT305-40-D	io = 10.6 kA
	Icu = 25 kA	Zs(0,4s) = 523 mOhm, Ia = 442 A, R(50V/5s) = 113 mOhm
	In = 40 A	
	IR = 40 A ( 1.00x40 A )	
	Ii = 400 A	
	WL17	
WL17	1-CXKE-R 5x25	Iz = 76 A
	80 m ve vzduchu (E)	tm = 109 ° C
	Teplota okolí [st. C] : 30	Ik"= 3.34 kA
	Způsob uložení : Na vodorovných perforovaných lávkách	dU = 0.4 %
	Počet seskupených obvodů : 5	I2t < k2S2
	Uspořádání seskupených obvodů : Seskupené ve svazku, zapuštěné nebo uzavřené	ip = 4.82 kA
		O.K. Zsv < Zs(0,4s) ( 157 mOhm < 523 mOhm )
	1RM1	
1RM1	Vývod	Ik"= 3.34 kA
	P= 10 kW xB = 10 kW	O.K. Zsv < Zs(0,4s) ( 157 mOhm < 523 mOhm )
	cos fi = 0.95	ip = 4.82 kA
	I = 15.2 A	U = 406 V (Un + 1.5%)
	B = 1	
	FA18	
FA18	BC160NT305-32-D	io = 10.6 kA
	Icu = 25 kA	Zs(0,4s) = 650 mOhm, Ia = 356 A, R(50V/5s) = 141 mOhm
	In = 32 A	
	IR = 32 A ( 1.00x32 A )	
	Ii = 320 A	
	WL18	
WL18	CYKY 5x16	Iz = 48 A
	25 m ve vzduchu (E)	tm = 63 ° C
	Teplota okolí [st. C] : 30	(Ik"= 5.55 kA)
	Způsob uložení : Na vodorovných perforovaných lávkách	dU = 0.1 %
	Počet seskupených obvodů : 5	I2t < k2S2
	Uspořádání seskupených obvodů : Seskupené ve svazku, zapuštěné nebo uzavřené	io = 6.95 kA
		O.K. Zsv < Zs(0,4s) ( 93.3 mOhm < 650 mOhm )
	DT1	
DT1	Vývod	io = 6.95 kA
	P= 6.0 kW xB = 6.0 kW	(Ik"= 5.55 kA, ip = 8.01 kA)
	cos fi = 0.95	O.K. Zsv < Zs(0,4s) ( 93.3 mOhm < 650 mOhm )
	I = 9.12 A	U = 407 V (Un + 1.8%)
	B = 1	

	FA19	
FA19	BC160NT305-32-D	$i_o = 10.6 \text{ kA}$
	$I_{cu} = 25 \text{ kA}$	$Z_s(0,4s) = 650 \text{ m}\Omega$ , $I_a = 356 \text{ A}$ , $R(50V/5s) = 141 \text{ m}\Omega$
	$I_n = 32 \text{ A}$	
	$I_R = 32 \text{ A}$ ( $1.00 \times 32 \text{ A}$ )	
	$I_i = 320 \text{ A}$	
	WL19	
WL19	1-CXKE-R 5x25	$I_z = 76 \text{ A}$
	90 m ve vzduchu (E)	$t_m = 74^\circ \text{ C}$
	Teplota okolí [st. C] : 30	$I_k'' = 3.04 \text{ kA}$
	Způsob uložení : Na vodorovných perforovaných lávkách	$dU = 0.3 \%$
	Počet seskupených obvodů : 5	$I_{2t} < k2S2$
	Uspořádání seskupených obvodů : Seskupené ve svazku, zapuštěné nebo uzavřené	$i_p = 4.39 \text{ kA}$
		O.K. $Z_{sv} < Z_s(0,4s)$ ( $171 \text{ m}\Omega < 650 \text{ m}\Omega$ )
	DT2	
DT2	Vývod	$I_k'' = 3.04 \text{ kA}$
	$P = 6.0 \text{ kW}$ xB = 6.0 kW	O.K. $Z_{sv} < Z_s(0,4s)$ ( $171 \text{ m}\Omega < 650 \text{ m}\Omega$ )
	$\cos \phi_i = 0.95$	$i_p = 4.39 \text{ kA}$
	$I = 9.12 \text{ A}$	$U = 407 \text{ V}$ ( $U_n + 1.6\%$ )
	$B = 1$	
	FA20	
FA20	BC160NT305-32-D	$i_o = 10.6 \text{ kA}$
	$I_{cu} = 25 \text{ kA}$	$Z_s(0,4s) = 650 \text{ m}\Omega$ , $I_a = 356 \text{ A}$ , $R(50V/5s) = 141 \text{ m}\Omega$
	$I_n = 32 \text{ A}$	
	$I_R = 32 \text{ A}$ ( $1.00 \times 32 \text{ A}$ )	
	$I_i = 320 \text{ A}$	
	WL20	
WL20	1-CXKE-R 5x25	$I_z = 76 \text{ A}$
	80 m ve vzduchu (E)	$t_m = 74^\circ \text{ C}$
	Teplota okolí [st. C] : 30	$I_k'' = 3.34 \text{ kA}$
	Způsob uložení : Na vodorovných perforovaných lávkách	$dU = 0.2 \%$
	Počet seskupených obvodů : 5	$I_{2t} < k2S2$
	Uspořádání seskupených obvodů : Seskupené ve svazku, zapuštěné nebo uzavřené	$i_p = 4.82 \text{ kA}$
		O.K. $Z_{sv} < Z_s(0,4s)$ ( $155 \text{ m}\Omega < 650 \text{ m}\Omega$ )
	DT3	
DT3	Vývod	$I_k'' = 3.34 \text{ kA}$
	$P = 6.0 \text{ kW}$ xB = 6.0 kW	O.K. $Z_{sv} < Z_s(0,4s)$ ( $155 \text{ m}\Omega < 650 \text{ m}\Omega$ )
	$\cos \phi_i = 0.95$	$i_p = 4.82 \text{ kA}$
	$I = 9.12 \text{ A}$	$U = 407 \text{ V}$ ( $U_n + 1.7\%$ )
	$B = 1$	

	FA21	
FA21	BC160NT305-32-D	$i_o = 10.6 \text{ kA}$
	$I_{cu} = 25 \text{ kA}$	$Z_s(0,4s) = 650 \text{ m}\Omega$ , $I_a = 356 \text{ A}$ , $R(50V/5s) = 141 \text{ m}\Omega$
	$I_n = 32 \text{ A}$	
	$I_R = 32 \text{ A}$ ( $1.00 \times 32 \text{ A}$ )	
	$I_i = 320 \text{ A}$	
	WL21	
WL21	1-CXKE-R 5x25	$I_z = 76 \text{ A}$
	90 m ve vzduchu (E)	$t_m = 74 \text{ }^\circ \text{C}$
	Teplota okolí [st. C] : 30	$I_k'' = 3.04 \text{ kA}$
	Způsob uložení : Na vodorovných perforovaných lávkách	$dU = 0.3 \text{ } \%$
	Počet seskupených obvodů : 5	$I_{2t} < k2S2$
	Uspořádání seskupených obvodů : Seskupené ve svazku, zapuštěné nebo uzavřené	$i_p = 4.39 \text{ kA}$
		O.K. $Z_{sv} < Z_s(0,4s)$ ( $171 \text{ m}\Omega < 650 \text{ m}\Omega$ )
	DT4	
DT4	Vývod	$I_k'' = 3.04 \text{ kA}$
	$P = 6.0 \text{ kW}$ xB = 6.0 kW	O.K. $Z_{sv} < Z_s(0,4s)$ ( $171 \text{ m}\Omega < 650 \text{ m}\Omega$ )
	$\cos \phi_i = 0.95$	$i_p = 4.39 \text{ kA}$
	$I = 9.12 \text{ A}$	$U = 407 \text{ V}$ ( $U_n + 1.6\%$ )
	B = 1	
	FU26	
FU26	PV22 63A gG	$i_o = 5.94 \text{ kA}$
	$I_n = 63 \text{ A}$	$Z_s(0,4s) = 394 \text{ m}\Omega$ , $I_a = 586 \text{ A}$ , $R(50V/5s) = 175 \text{ m}\Omega$
	$I_{cc} = 100 \text{ kA}$	
	Připojeno pomocí OPVP22	
	WL26	
WL26	1-CYKY5x25	$I_z = 78 \text{ A}$
	25 m ve vzduchu (E)	$t_m = 104 \text{ }^\circ \text{C}$
	Teplota okolí [st. C] : 30	( $I_k'' = 7.16 \text{ kA}$ )
	Způsob uložení : Na vodorovných perforovaných lávkách	$dU = 0.4 \text{ } \%$
	Počet seskupených obvodů na lávce, žebříku či roštu : 5	$I_{2t} < k2S2$
	Uspořádání seskupených obvodů : V jedné vrstvě těsně	$i_o = 4.83 \text{ kA}$
	Počet lávek, žebříků či roštů : 1	O.K. $Z_{sv} < Z_s(0,4s)$ ( $67.9 \text{ m}\Omega < 394 \text{ m}\Omega$ )
	Z4b	
Z4b	Vývod	$i_o = 4.83 \text{ kA}$
	$P = 30 \text{ kW}$ xB = 30 kW	( $I_k'' = 7.16 \text{ kA}$ , $i_p = 10.4 \text{ kA}$ )
	$\cos \phi_i = 0.95$	O.K. $Z_{sv} < Z_s(0,4s)$ ( $67.9 \text{ m}\Omega < 394 \text{ m}\Omega$ )
	$I = 45.6 \text{ A}$	$U = 406 \text{ V}$ ( $U_n + 1.5\%$ )
	B = 1	
	FU27	

FU27	PV22 63A gG	io = 5.94 kA
	In = 63 A	Zs(0,4s) = 394 mOhm, Ia = 586 A, R(50V/5s) = 175 mOhm
	Icc = 100 kA	
	Připojeno pomocí OPVP22	
	WL27	
WL27	1-CYKY5x25	Iz = 78 A
	30 m ve vzduchu (E)	tm = 104 ° C
	Teplota okolí [st. C] : 30	(Ik"= 6.51 kA)
	Způsob uložení : Na vodorovných perforovaných lávkách	dU = 0.3 %
	Počet seskupených obvodů na lávce, žebříku či roštu : 5	I2t < k2S2
	Uspořádání seskupených obvodů : V jedné vrstvě těsně	io = 4.68 kA
	Počet lávek, žebříků či roštů : 1	O.K. Zsv < Zs(0,4s) ( 76.2 mOhm < 394 mOhm )
	HPJ	
HPJ	Vývod	io = 4.68 kA
	P= 20 kW xB = 20 kW	(Ik"= 6.51 kA, ip = 9.43 kA)
	cos fi = 0.95	O.K. Zsv < Zs(0,4s) ( 76.2 mOhm < 394 mOhm )
	I = 30.4 A	U = 406 V (Un + 1.6%)
	B = 1	
	FU31	
FU31	PV10 20A gG	io = 2.18 kA
	In = 20 A	Zs(0,4s) = 1.92 Ohm, Ia = 120 A, R(50V/5s) = 672 mOhm
	Icc = 100 kA	
	Připojeno pomocí OPVP10	
	WL31	
WL31	CYKY 5x4	Iz = 27 A
	25 m ve vzduchu (E)	tm = 84 ° C
	Teplota okolí [st. C] : 30	(Ik"= 1.87 kA)
	Způsob uložení : Na vodorovných perforovaných lávkách	dU = 1.0 %
	Počet seskupených obvodů na lávce, žebříku či roštu : 4	I2t < k2S2
	Uspořádání seskupených obvodů : V jedné vrstvě těsně	io = 1.16 kA
	Počet lávek, žebříků či roštů : 1	O.K. Zsv < Zs(0,4s) ( 286 mOhm < 1.92 Ohm )
	Z1b	
Z1b	Vývod	io = 1.16 kA
	P= 12 kW xB = 12 kW	(Ik"= 1.87 kA, ip = 2.70 kA)
	cos fi = 0.95	O.K. Zsv < Zs(0,4s) ( 286 mOhm < 1.92 Ohm )
	I = 18.2 A	U = 404 V (Un + 1.1%)
	B = 1	
	FU32	
FU32	PVA10 10A gG	io = 1.10 kA
	In = 10 A	Zs(0,4s) = 4.03 Ohm, Ia = 57 A, R(50V/5s) = 1406 mOhm

	Icc = 100 kA	
	Připojeno pomocí OPVP10	
	WL32	
WL32	1-CXKE-R 5x2,5	Iz = 19.2 A
	45 m ve vzduchu (E)	tm = 108 ° C
	Teplota okolí [st. C] : 30	(Ik"= 703 A)
	Způsob uložení : Na vodorovných perforovaných lávkách	dU = 0.9 %
	Počet seskupených obvodů : 5	I2t < k2S2
	Uspořádání seskupených obvodů : Seskupené ve svazku, zapuštěné nebo uzavřené	io = 457 A
		O.K. Zsv < Zs(0,4s) ( 764 mOhm < 4.03 Ohm )
	Z1d	
Z1d	Vývod	io = 457 A
	P= 3.8 kW xB = 3.8 kW	(Ik"= 703 A, ip = 1.01 kA)
	cos fi = 0.95	O.K. Zsv < Zs(0,4s) ( 764 mOhm < 4.03 Ohm )
	I = 5.77 A	U = 405 V (Un + 1.2%)
	B = 1	